

ПЛОСКИЕ ВОЛНЫ В НЕЛИНЕЙНЫХ ВЯЗКИХ МНОГОКОМПОНЕНТНЫХ СРЕДАХ

Г. М. Ляхов, В. Н. Охитин

(Москва)

Изучение волновых процессов в многокомпонентных средах (жидкость и водонасыщенный грунт с пузырьками газа, суспензии и др.) проводилось в работах [1—20] и др.

В [1] предполагалось, что пространство заполнено несколькими сплошными средами, каждая из которых соответствует компоненту среды. Исследовались взаимопроникающие движения этих сред (в общем случае каждая смещается со своей скоростью и давлением). В соответствии с моделью [2] многокомпонентная среда рассматривалась как однородная сплошная среда с уравнением сжимаемости, учитывающим сжимаемость и содержание компонентов, которые находятся в равновесном состоянии. В [3] многокомпонентная среда рассматривалась как однородная, сжимаемость газообразного компонента определялась адиабатой Гюгонио. Отражение плоской волны от твердой преграды при разных углах падения на основе [2] с помощью ЭВМ исследовано в [4]. Задача о распространении волны, создаваемой взрывом сферического заряда ВВ, на основе модели [2] решена с помощью ЭВМ в [5]. В [6] предложена модель однородной среды, аналогичная [2], получены решения задач о прохождении волны через слой воды с пузырьками газа и об отражении ее от неподвижной границы. Особенности структуры волн в воде с пузырьками газа и влияние вязкостной диссипации, связанной с движением пузырьков относительно жидкости, рассмотрены в [7]. В модели [8] пульсация пузырьков принята соответствующей уравнению Ламба, т. е. учитывается неравновесие между фазами. Случай сильных ударных волн на основе [8] рассмотрен в [9]. В [10, 11] показано, что в жидкости с пузырьками газа при определенных соотношениях между вязкостью, нагрузкой и радиусом пузырька формируется волна с осцилляторной структурой. В [12] на основе модели [13] исследована структура волны с учетом осцилляций. Уравнения механики двухскоростной, двухтемпературной среды с двумя давлениями предложены в [14]. В [15] на основе [14] исследована структура стационарной волны с учетом теплопроводности. Показано, что характер пульсации существенно зависит от межфазного теплообмена. Отмечено, что опыты [11] следует анализировать с учетом изменения структуры во времени. Опытами [16] установлено, что увеличение интенсивности волны приводит к увеличению частоты и амплитуды колебаний на фронте, а увеличение диаметра пузырька — к уменьшению частоты и увеличению амплитуды. Рассмотрены слабые волны. В [17] получены численные решения, позволяющие определить амплитудные осцилляции на фронте волны, скорость ее распространения и время установления стационарной структуры. Волны в насыщенных водой горных породах рассматривались в [18]. Получено уравнение, описывающее слабые продольные волны с учетом инерционной релаксации. В [19] исследовалось влияние поверхностного натяжения. В [20] модель [2] усовершенствована введением нелинейных диаграмм динамического и статического сжатия многокомпонентной среды, что позволяет ввести объемную вязкость. Несколько иначе учитывается влияние вязкости в [21].

Ниже, на основе [20], получено решение задачи о распространении плоской волны, создаваемой ударной стационарной нагрузкой в многокомпонентной среде. Решение выполнено с помощью ЭВМ методом характеристик, применявшихся к средам без вязкости [5, 20, 22], а также приближенным аналитическим методом.

1. Модель среды, метод численного решения. Воспользуемся моделью [20]. При начальном (атмосферном) давлении $\alpha_1, \alpha_2, \alpha_3$ — содержание по объему газообразного, жидкого и твердого компонентов; V_{10}, V_{20}, V_{30} — удельный объем; $\rho_{10}, \rho_{20}, \rho_{30}$ — плотность; c_{10}, c_{20}, c_{30} — скорость звука в каждом из них; ρ_0 — плотность среды; V_0 — удельный объем

$$\rho_0 = 1/V_0 = \alpha_1\rho_{10} + \alpha_2\rho_{20} + \alpha_3\rho_{30}, \quad \alpha_1 + \alpha_2 + \alpha_3 = 1.$$

При давлении p объем, плотность и скорость звука — $V_1, V_2, V_3, \rho_1, \rho_2, \rho_3, c_1, c_2, c_3$ соответственно, плотность среды ρ , ее удельный объем V .

Примем, что в свободном состоянии компоненты сжимаются по уравнениям

$$(1.1) \quad \begin{aligned} p &= p_0 (\rho_1/\rho_{10})^{\gamma_1} - \text{газообразный,} \\ p &= p_0 + \frac{\rho_{20}c_{20}^2}{\gamma_2} \left[\left(\frac{\rho_2}{\rho_{20}} \right)^{\gamma_2} - 1 \right] - \text{жидкий,} \\ p &= p_0 + \frac{\rho_{30}c_{30}^2}{\gamma_3} \left[\left(\frac{\rho_3}{\rho_{30}} \right)^{\gamma_3} - 1 \right] - \text{твердый.} \end{aligned}$$

Первое уравнение в (1.1) приводится к виду уравнения Тэта. Поэтому для всех компонентов

$$(1.2) \quad p = p_0 + \frac{\rho_{i0}c_{i0}^2}{\gamma_i} \left[\left(\frac{V_{i0}}{V_i} \right)^{\gamma_i} - 1 \right], \quad i = 1, 2, 3, \quad p_0 = \frac{\rho_{10}c_{10}^2}{\gamma_1}.$$

Газообразный компонент содержится в виде мелких пузырьков. Сжатие пузырьков газа, изолированных друг от друга остальными компонентами, при прохождении волны протекает не мгновенно, а в конечное время — при смещении остальных компонентов и заполнения ими начального объема пузырьков. Поэтому в соответствии с [20] принимается, что сжатие газа в среде вместо (1.2) подчиняется уравнению

$$(1.3) \quad p = p_0 + \frac{\rho_{10}c_{10}^2}{\gamma_1} \left[\left(\frac{V_1}{V_{10}} \right)^{-\gamma_1} - 1 \right] - \eta \frac{\dot{V}_1}{V_{10}},$$

где η — коэффициент объемной вязкости среды.

Остальные компоненты сжимаются по тем же уравнениям, что и в свободном состоянии.

Уравнение сжимаемости трехкомпонентной среды при этих предположениях принимает вид

$$(1.4) \quad \frac{\dot{V}}{V_0} = \varphi(p) \dot{p} - \frac{\alpha_1}{\eta} \psi(p, V),$$

где

$$\begin{aligned} \varphi(p) &= - \sum_{i=2}^3 \frac{\alpha_i}{\rho_{i0}c_{i0}^2} \left[\frac{\gamma_i(p-p_0)}{\rho_{i0}c_{i0}^2} + 1 \right]^{-(1+\gamma_i)/\gamma_i}; \\ \psi(p, V) &= p - p_0 \alpha_1 \left\{ \frac{V}{V_0} - \sum_{i=2}^3 \left[\frac{\gamma_i(p-p_0)}{\rho_{i0}c_{i0}^2} + 1 \right]^{-1/\gamma_i} \right\}^{-\gamma_1}. \end{aligned}$$

При $\dot{V} \rightarrow \infty$ и $\dot{p} \rightarrow \infty$ из (1.4) получим уравнение динамической сжимаемости среды

$$(1.5) \quad \frac{V_D}{V_0} = \alpha_1 + \sum_{i=2}^3 \alpha_i \left[\frac{\gamma_i(p-p_0)}{\rho_{i0}c_{i0}^2} + 1 \right]^{-1/\gamma_i}, \quad \varphi(p) = \rho_0 \frac{dV}{dp}.$$

При $\dot{V} \rightarrow 0$ и $\dot{p} \rightarrow 0$ получим уравнение статической сжимаемости среды

$$(1.6) \quad \frac{V_s}{V_0} = \sum_{i=1}^3 \alpha_i \left[\frac{\gamma_i(p-p_0)}{\rho_{i0}c_{i0}^2} + 1 \right]^{-1/\gamma_i}.$$

Последнее уравнение совпадает с уравнением сжимаемости модели [2], не учитывающей объемной вязкости. Модель [2] соответствует пре-

дельному равновесному состоянию среды, соответствующему статическому сжатию в модели [20].

Воспользуемся переменными Лагранжа: r — пространственная координата, t — время.

Найдем параметры волны, которая создается нагрузкой, заданной в начальном сечении $r = 0$ полупространства (или трубы, заполненной средой), возрастающей при $t = 0$ скачком до p_S , а затем сохраняющей это значение.

Основные уравнения движения имеют вид

$$(1.7) \quad \frac{\partial u}{\partial r} - \rho_0 \frac{\partial V}{\partial t} = 0, \quad \frac{\partial u}{\partial t} + \frac{1}{\rho_0} \frac{\partial p}{\partial r} = 0.$$

Система (1.7), замыкающая (1.4), гиперболического типа. Характеристические соотношения

$$(1.8) \quad dp \pm \left(\frac{\rho_0}{\varphi(p)} \right)^{1/2} du = \frac{\alpha_1 \psi(p, V)}{\eta \varphi(p)} dt \text{ при } \dot{r} = \pm (-\rho_0 \varphi(p))^{-1/2};$$

$$dp - \frac{\rho_0}{\varphi(p)} dV - \frac{\alpha_1 \psi(p, V)}{\eta \varphi(p)} dt \text{ при } \dot{r} = 0.$$

Характеристики первого и второго семейств нелинейные.

Граничные условия в начальном сечении $r = 0$ и на скачке (фронте предвестника), где сжатие происходит по динамической диаграмме и вязкость не проявляется, имеют вид

$$p = p_0 \text{ при } t \leq 0, \quad p = p_S \text{ при } t \geq 0, \\ p - p_0 = \rho_0 u D, \quad (\rho - \rho_0) D = \rho u.$$

Решение проведено при помощи ЭВМ БЭСМ-6 для трех значений нагрузки $p_S/p_0 = 5000, 1000$ и 50 и шести сред, характеристики которых даны в табл. 1 (1—3 — водонасыщенный грунт, 4—6 — вода с пузырьками воздуха).

В расчетах принято $\rho_{10} = 1,29$, $\rho_{20} = 10^3$, $\rho_{30} = 2,65 \cdot 10^3$ кг/м³, $c_{10} = 330$, $c_{20} = 1500$, $c_{30} = 5000$ м/с, $\gamma_1 = 1,4$, $\gamma_2 = 7$, $\gamma_3 = 4$.

В рассматриваемой задаче в плоскости r, t имеются четыре типа точек, в каждом из которых параметры рассчитываются по своим алгоритмам: на предвестнике, в областях нарастания и постоянного давления, в начальном сечении.

Рассмотрим последовательность расчета параметров в области нарастания давления. Пусть точки A, B, D лежат на одном временном слое, параметры в них известны, $r(A) < r(B) < r(D)$. Определяются параметры в точке C , лежащей на следующем временном слое и имеющей ту же пространственную координату, что и точка B . Шаг по времени Δt от слоя к слою меняется. Из точки C на предыдущий временной слой опускаются характеристики всех трех семейств. Их пересечение с линией AD обозначим L, V, M . Координаты точек L и M находятся из уравнений

$$r_L = r_C - [-\rho_0 \varphi(p)]_{CL}^{-1/2} \Delta t, \quad r_M = r_C + [-\rho \varphi(p)]_{CM}^{-1/2} \Delta t.$$

Индекс CL указывает, что величины в скобках принимаются средними между их значениями в точках C и L . В первом счете параметры в точке C берутся такими же, как в точке B . С помощью интерполяции по значениям параметров в точках A, B и D рассчитываются значения p, V

Таблица 1

Номер среды	α_1	α_2	α_3
1	0,01	0,39	0,6
2	0,02	0,38	0,6
3	0,04	0,36	0,6
4	0,01	0,99	0
5	0,04	0,96	0
6	0,10	0,90	0

и u в точках L и M . Затем по найденным значениям определяются уточненные величины p , u , V в точке C

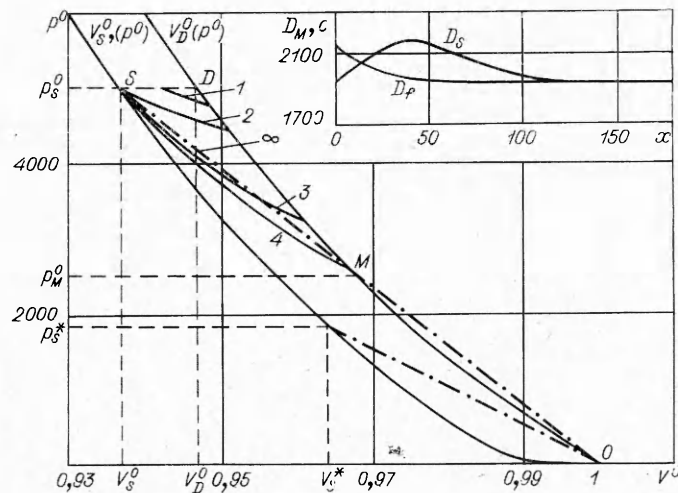
$$p_C - p_L = - \left[- \rho_0 / \varphi(p) \right]_{CL}^{1/2} (u_C - u_L) - \frac{\alpha_1}{\eta} \left(\frac{\Psi(p, V)}{\varphi(p)} \right)_{CL} \Delta t,$$

$$p_C - p_M = \left[- \frac{\rho_0}{\varphi(p)} \right]_{CM}^{1/2} (u_C - u_M) - \frac{\alpha_1}{\eta} \left(\frac{\Psi(p, V)}{\varphi(p)} \right)_{CL} \Delta t,$$

$$p_C - p_B = - \left(\frac{\rho_0}{\varphi(p)} \right)_{CB} (V_C - V_B) - \frac{\alpha_1}{\eta} \left(\frac{\Psi(p, V)}{\varphi(p)} \right)_{CB} \Delta t.$$

Уравнения соответствуют соотношениям, выполняющимся вдоль трех характеристик. Расчет повторяется заданное число раз. Аналогично проводится расчет параметров в остальных типах точек.

2. Результаты численного решения. На фиг. 1 приведены диаграммы динамического $V_D^0(p^0)$ и статического $V_S^0(p^0)$ сжатия среды 1 (см. табл. 1), построенные по уравнениям (1.5), (1.6). Здесь и в дальнейшем $p^0 = p/p_0$,



Ф и г. 1

$V^0 = V/V_0$. При малых давлениях, когда сжимаемость среды определяется сжимаемостью воздуха, ход кривых существенно различен. Начиная с давлений порядка десятка атмосфер, воздух сжат до состояния, близкого к предельному, и ход кривых становится подобным, диаграмма $V_S^0(p^0)$ отклоняется от $V_D^0(p^0)$ на величину α_1 .

Расчеты показывают, что в момент приложения нагрузки $t = 0$ от сечения $r = 0$ начинает распространяться ударный фронт (предвестник). Начальное давление на предвестнике $p_S^0 = 5 \cdot 10^3$, его скорость $D_f = [(p_S^0 - 1) p_0 / \rho_0 (1 - V_D^0)]^{1/2}$. С расстоянием величина скачка на предвестнике и его скорость убывают. За скачком следует область постепенного нарастания давления до p_S^0 .

С течением времени состояние на предвестнике по кривой $V_D^0(p^0)$ переходит из точки D в точку M , а в начальном сечении из точки D в точку S . В области нарастания давления состояние определяется линиями $1 - \infty$. Возрастание цифр соответствует возрастанию времени. Кривая 2 относится к моменту времени, когда состояние в начальном сечении достигает ди-

аграммы статического сжатия. При этом от начального сечения начинает распространяться фронт области постоянного давления p_S^0 со скоростью $D_S < D_f$. Со временем D_f убывает, а D_S сначала растет, а потом убывает (см. фиг. 1). При $t \rightarrow \infty$ диаграмма состояния в области нарастания давления стремится к прямой OMS , давление на предвестнике — к p_M^0 , скорость предвестника и фронта области постоянного давления и состояний между ними — к D_M (течение становится стационарным)

$$D_M = [(p_M^0 - 1) p_0 / \rho_0 (1 - V_M^0)]^{1/2}.$$

Введем безразмерное расстояние

$$(2.1) \quad x = Ar/3\eta;$$

$$(2.2) \quad A = \left(\frac{\alpha_2 \rho_{20} + \alpha_3 \rho_{30}}{1 - \alpha_1} \right)^{1/2} \left(\frac{\alpha_2}{\rho_{20} c_{20}^2} + \frac{\alpha_3}{\rho_{30} c_{30}^2} \right)^{-1/2}$$

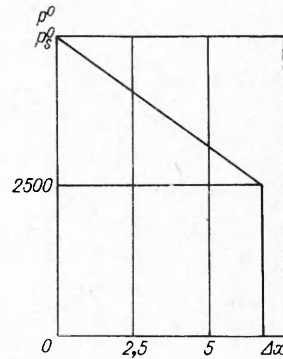
(A — акустическое сопротивление среды, окружающей пузырьки газа). Значения A , вычисленные по (2.2), даны в табл. 2. Пренебрегая массой воздуха по сравнению с массой других компонентов, при малых α_1 получим

$$A = \rho_0^{1/2} \left(\frac{\alpha_2}{\rho_{20} c_{20}^2} + \frac{\alpha_3}{\rho_{30} c_{30}^2} \right)^{-1/2}.$$

На фиг. 2 дано распределение давления для среды 1 при $p_S^0 = 5000$. Зависимость $p^0(x)$ близка к линейной. Протяженность области нарастания

Т а б л и ц а 2

Номер среды	$A \cdot 10^{-6}$, кг/м ² ·с	p_S^*/p_0	$\eta \cdot 10^{-3}$, кг/м·с
1	3,28	1850	1,09
2	3,34	3000	1,11
3	3,39	4750	1,13
4	1,52	1250	0,51
5	1,53	2930	0,52
6	1,58	5420	0,53



Ф и г. 2

давления $\Delta x = 6,8$, $p_M^0 \cong p_S^0/2$. Принимая в соответствии с [20] $\eta = 1,09 \times 10^3$ кг/м·с, получим размерную протяженность области нарастания давления $\Delta r = 6,8 \cdot 10^{-3}$ м и время нарастания в фиксированной точке среды $\Delta t = 3,5 \cdot 10^{-6}$ с. Время нарастания мало.

Рассмотренный случай, когда скачок на предвестнике уменьшается до конечного значения, возникает лишь при достаточно большой нагрузке $p_S^0 > p_S^*$. Если прямая OS (см. фиг. 1) не пересекает динамическую диаграмму еще в одной точке, то величина скачка на предвестнике в пределе стремится к нулю; p_S^* определяется из условия

$$(2.3) \quad p_S^* - 1 = -c_0^2 \rho_0 (V_S^* - 1), \quad V_S^* = V_S^0(p_S^*);$$

$$(2.4) \quad c_0^2 \rho_0 = \left(\frac{\alpha_2}{\rho_{20} c_{20}^2} + \frac{\alpha_3}{\rho_{30} c_{30}^2} \right)^{-1}, \quad c_0 \rho_0 \cong A.$$

Значения p_S^* , вычисленные по (2.3), (2.4), даны в табл. 2.

С увеличением содержания газообразного компонента p_S^* возрастает. В среде вода — воздух p_S^* меньше, чем в водонасыщенном грунте при том же значении α_1 . Скорость предвестника стремится к скорости звука c_0 . Для первой среды $c_0 = 1640$ м/с.

Зависимость давления на предвестнике от расстояния в водонасыщенных грунтах при $p_S^0 = 1000 < p_S^*$ представлена на фиг. 3, где нумерация сред табл. 1.

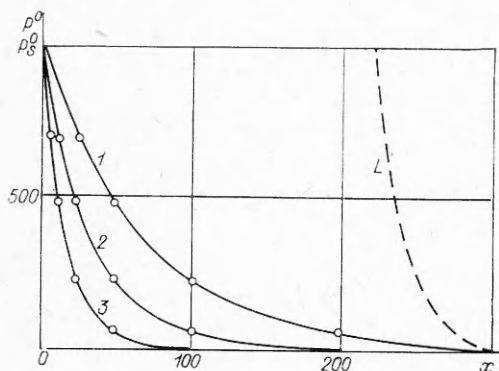
Кривая L определяет распределение давления в среде 1, когда предвестник достигает точки $x = 303$. Давление на предвестнике практически равно нулю. Протяженность области нарастания давления $\Delta x = 83$. При $\eta = 1,09 \cdot 10^3$ кг/м \cdot с получим $r = 30,3 \cdot 10^{-2}$ м, $\Delta r = 8,3 \cdot 10^{-2}$ м. Время нарастания давления до максимума $\Delta t = 5 \cdot 10^{-5}$ с еще мало. С уменьшением p_S^0 протяженность области нарастания давления растет. При увеличении содержания газообразного компонента интенсивность угасания на предвестнике возрастает.

На фиг. 4 приведены диаграммы динамического $V_D^0(p^0)$ и статического $V_S^0(p^0)$ сжатия

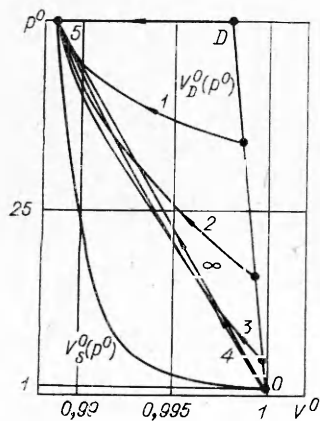
воды с пузырьками газа (среда 4), кривые $1 - \infty$ определяют изменение состояния в частицах среды при нарастании давления. Нумерация возрастает с удалением частиц от начального сечения. Кривые стремятся к прямой OS .

На фиг. 5 представлена зависимость давления на предвестнике от расстояния в среде вода — воздух при $p_S^0 = 50$. Нумерация кривых соответствует нумерации сред в табл. 1. Давление на предвестнике стремится к нулю. Кривая L определяет распределение давления в среде 4, когда предвестник достигает $x = 398$.

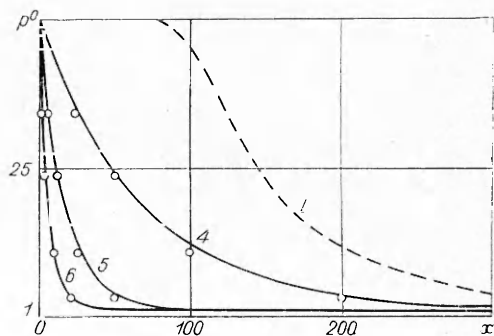
3. Приближенные значения коэффициента вязкости. Решения волновых задач [20] показали, что объемная вязкость приводит к размыва-



Фиг. 3



Фиг. 4



Фиг. 5

нию ударной волны. Значения коэффициента объемной вязкости η должны определяться экспериментально. Найдем приближенные значения η из анализа сжатия пузырьков, принимая уравнения сжимаемости твердого и жидкого компонентов линейными. Пусть все пузырьки сферической формы и одного радиуса r_0 . Начальный объем пузырька $V_0^* = 4\pi r_0^3/3$. При сжатии в момент приложения нагрузки

$$\dot{V}^* = -4\pi r_0^2 u,$$

где u — скорость среды, окружающей пузырьки. Изменение объема всех пузырьков в единице объема среды

$$\frac{\dot{V}_1}{V_{10}} = \frac{\dot{V}^*}{V_0^*} = -\frac{4\pi r_0^2 u}{V_0^*} = -\frac{3u}{r_0}.$$

Из (1.3) следует, что в этот момент времени

$$(3.1) \quad p - p_0 = -\dot{\eta} V_1/V_{10} = 3\eta u/r_0.$$

Если твердый и жидкий компоненты — линейно-упругие среды, т. е. $\gamma_2 = \gamma_3 = -1$, то

$$(3.2) \quad p - p_0 = Au, \quad A = \left(\frac{\alpha_2 \rho_{20} + \alpha_3 \rho_{30}}{1 - \alpha_1} \right)^{1/2} \times \\ \times \left(\frac{\alpha_2}{\rho_{20} c_{20}^2} + \frac{\alpha_3}{\rho_{30} c_{30}^2} \right)^{-1/2}.$$

Из сопоставления (3.1), (3.2) найдем коэффициент вязкости

$$(3.3) \quad \eta = Ar_0/3.$$

Значения η при $r_0 = 10^{-3}$ м, вычисленные по (3.3), даны в табл. 2. При рассмотренных изменениях α_1 величины A и η меняются незначительно.

В водонасыщенном грунте A и η выше, чем в среде вода — воздух при одинаковом содержании воздуха и тех же радиусах пузырьков.

Изменение содержания газообразного компонента приводит к изменению статической и динамической диаграмм, изменение радиуса пузырьков меняет коэффициент вязкости среды.

Из (2.1), (3.3) следует

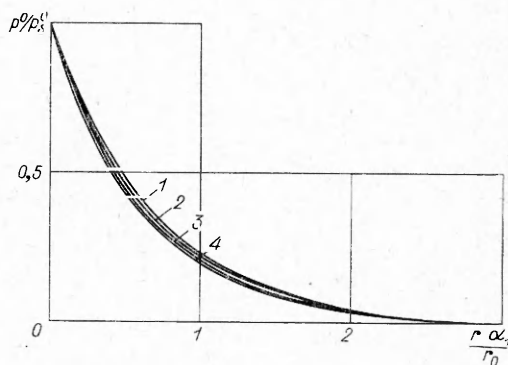
$$x = r/r_0.$$

На фиг. 6 кривые 1—4 определяют давление на предвестнике при $p_S^0 = 50; 500, 1000$ и 3000 соответственно. Они построены для водонасыщенного грунта, но практически совпадают с кривыми для воды с пузырьками воздуха. Различие кривых не превышает 10%. Из этого следует, что при $p_S^0 < p_S^*$ в первом приближении можно принять

$$p^0/p_S^0 = f(r\alpha_1/r_0).$$

4. Аналитические решения.

Рассмотрим случай $p_S^0 < p_S^*$. Аппроксимируем диаграмму ди-



Ф и г. 6

нампического сжатия прямой OD (см. фиг. 4). При линеаризации характеристики прямолинейны, линия фронта совпадает с характеристикой первого семейства, а параметры на предвестнике соответствуют первому из уравнений (1.8). Функцию $\psi(p, V)$ можно представить в виде

$$(4.1) \quad \psi(p, V) = p - p_0 [1 - (V_D^0 - V^0)/\alpha_1]^{-\alpha_1}.$$

При $V^0 \rightarrow V_D^0$ и $\bar{V}^0 \rightarrow \bar{V}_S^0$ соответственно $\psi \rightarrow p - p_0$, $\psi \rightarrow 0$. На диаграмме динамического сжатия, а следовательно, и на скачке $\psi = p - p_0 = \rho_0(p^0 - 1)$. В соответствии с (1.5) при линеаризации получим

$$\varphi(p) = \rho_0 dV/dp, \quad \varphi(p) = (1 - V_D^0)/p_0(1 - p_S^0) = \text{const}.$$

Соотношение на скачке

$$p = (-dp/dV)^{1/2} u = (-\rho_0/\varphi(p))^{1/2} u.$$

Отсюда первое из уравнений (1.8) принимает вид

$$dp^0/(p^0 - 1) = -\alpha_1 p_0 (p_S^0 - 1)/\eta (1 - V_D^0) dt.$$

Интегрируя при начальном условии $p_S^0 = p^0(0)$, получим изменение давления на предвестнике со временем

$$\ln[(p^0 - 1)/(p_S^0 - 1)] = -\alpha_1 p_0 (p_S^0 - 1) t/2\eta (1 - V_D^0).$$

Уравнение движения предвестника

$$r = [p_0 (p_S^0 - 1)/(1 - V_D^0) \rho_0]^{1/2} t.$$

Изменение давления на предвестнике с расстоянием

$$(4.2) \quad \ln[(p^0 - 1)(p_S^0 - 1)] = -\alpha_1 [(p_S^0 - 1) p_0 \rho_0]^{1/2} \times \\ \times r/2\eta (1 - V_D^0)^{1/2}.$$

На фиг. 3, 5 точки соответствуют давлению на предвестнике, вычисленному по (4.2). Аналитическое решение при линеаризации динамической диаграммы сжатия близко к решению, полученному с помощью ЭВМ без линеаризации (линии $I-6$). Это связано с малым отклонением диаграммы динамического сжатия от линейной зависимости (см. фиг. 1, 4) у рассматриваемых сред.

Рассмотрим изменение давления в фиксированной точке среды при $p_S^0 < p_S^*$. При $\dot{r}=0$ выполняется третье уравнение (1.8). После скачка на предвестнике до p_f^0 состояние в частице меняется по линиям $I - \infty$ (см. фиг. 4). При линеаризации этих кривых и диаграммы динамического сжатия получим

$$(4.3) \quad \frac{dV}{dp} = \frac{V_S^0 - V_f^0}{(p_S^0 - p_f^0) p_0 \rho_0}, \quad \varphi(p) = -\frac{1 - V_D^0}{p_0 (p_S^0 - 1)},$$

где p_f^0 — давление на скачке; $V_S^0 = V_S^0(p_S^0)$; $V_D^0 = V_D^0(p_S^0)$.

Между динамической и статической диаграммами, за исключением малой области вблизи статической кривой, приближенно можно принять (см. (4.1)) условие $\psi = p - p_0$. Отсюда, учитывая (4.3), получим третье уравнение (1.8) в виде

$$dp^0/(p^0 - 1) = \alpha_1 (p_S^0 - p_f^0) p_0/\eta (V_S^0 - V_D^0) dt.$$

Интегрируя, найдем изменение давления в фиксированной точке среды (частице) за фронтом предвестника

$$(4.4) \quad \ln[(p^0 - 1)(p_f^0 - 1)] = \alpha_1 (p_S^0 - p_f^0) p_0/\eta (V_S^0 - V_D^0) (t - t_f)$$

(t_f — время прихода предвестника в рассматриваемую точку).

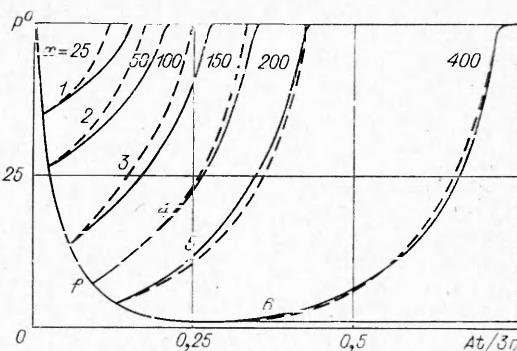
Время нарастания давления до p_S^0

$$\Delta t = \ln[(p_S^0 - 1)/(p_i^0 - 1)] \eta \times (V_S^0 - V_D^0) / \alpha_1 (p_S^0 - p_i^0).$$

При не слишком малых p_S^0 можно принять $\alpha_1 = V_S^0 - V_D^0$.

На фиг. 7 кривая f соответствует изменению давления на предвестнике со временем в воде с пузырьками газа при $\alpha_1 = 0,01$ и $p_S^0 = 50$. Кривые 1—6 определяют изменение давления в фиксированных точках среды на расстояниях $x = 25, 50, 100, 150, 200$ и 400 соответственно. Сплошные кривые получены по расчетам на ЭВМ, а штриховые — по (4.4). Различия между ними невелики.

Полученные аналитические выражения можно применять для приближенного определения давления на предвестнике и его изменения в период нарастания до p_S^0 , а также для определения времени нарастания давления.



Фиг. 7

Поступила 22 IV 1976

ЛИТЕРАТУРА

1. Рахматуллин Х. А. Основы газодинамики взаимопроникающих движений сжимаемых сред.— ПММ, 1956, т. 20, вып. 27.
2. Ляхов Г. М. Ударные волны в многокомпонентных средах.— «Изв. АН СССР. Механика и машиностроение», 1959, № 1.
3. Рахматуллин Х. А. О распространении волн в многокомпонентных средах.— ПММ, 1969, т. 33, вып. 4.
4. Legowski Z., Wlodarczyk E. Regular reflection of an oblique stationary shock wave from an indeformable plane partition in saturated soil.— «Proc. Vibr. Probl.», 1974, vol. 15, N 2.
5. Ляхов Г. М., Охитин В. И. Сферические взрывные волны в многокомпонентных средах.— ПМТФ, 1974, 2.
6. Паркин Б. Р., Гильмор Ф. Р., Броуд Г. Л. Ударные волны в воде с пузырьками воздуха.— В кн.: Подводные и подземные взрывы. М., «Мир», 1974.
7. Бетчлер Г. К. Волны сжатия в суспензиях газовых пузырьков.— Сб. пер. Механика, 1968, № 3.
8. Порданский С. В. Об уравнениях движения жидкости, содержащей пузырьки газа.— ПМТФ, 1960, № 3.
9. Кедринский В. К. Распространение возмущений в жидкости, содержащей пузырьки газа.— ПМТФ, 1968, № 4.
10. Накоряков В. Е., Соболев В. В., Шрейбер П. Р. Длинноволновые возмущения в газожидкостной смеси.— «Изв. АН СССР. МЖГ», 1972, № 5.
11. Noordzij L. Shock waves in bubble-liquid mixtures.— «Phys. Commun», 1971, vol. 3, N 1.
12. Van Wijngaarden L. On the structure of shock waves in liquid-bubble mixtures.— «Appl. Sci. Res.», 1970, vol. 22, N 5.
13. Van Wijngaarden L. On equations of motion for mixtures of fluid and gas bubbles.— «J. Fluid Mech.», 1968, vol. 33, N 3.
14. Нигматуллин Р. И. Мелкомасштабные течения и поверхностные эффекты в гидромеханике многофазных сред.— ПММ, 1971, т. 35.
15. Нигматуллин Р. И., Хабеев Н. С., Шаганов В. Ш. Об ударных волнах в жидкости с пузырьками газа.— Докл. АН СССР, 1974, т. 214, № 4.
16. Кутателадзе С. С., Бурдуков А. П., Кузнецов В. В., Накоряков В. Е., Покусаев Б. Г., Шрейбер П. Р. О структуре слабой ударной волны в газожидкостной среде.— «Докл. АН СССР», 1972, т. 207, № 2.

17. Кутателадзе С. С., Накоряков В. Е., Соболев В. В., Шрейбер И. Р. Динамика ударных волн в жидкости, содержащей пузырьки газа.— ПМТФ, 1974, № 5.
18. Николаевский В. Н., Басинев К. С., Горбунов А. Г., Зотов Г. А. Механика насыщенных пористых сред. М., «Недра», 1970.
19. Коштыов Г. Ф. Затухание ударных волн в газожидкостной среде.— «Вестн. Ленингр. ун-та», 1968, № 1.
20. Ляхов Г. М. Основы динамики взрывных волн в грунтах и горных породах. М., «Недра», 1974.
21. Кошелев Э. А. О развитии камуфлетной полости при взрыве в мягком грунте.— ПМТФ, 1975, № 2.
22. Хоскин Н. Э. Метод характеристик для решения уравнений одномерного неустановившегося течения.— В кн.: Вычислительные методы в гидродинамике. М., «Мир», 1967.

УДК 624.131 + 539.215

О МЕТОДЕ ОПРЕДЕЛЕНИЯ ПРЕДЕЛЬНЫХ ДИНАМИЧЕСКИХ ДИАГРАММ СЖАТИЯ ДЛЯ ГРУНТОВ И ПОРИСТЫХ СРЕД, ЧУВСТВИТЕЛЬНЫХ К СКОРОСТИ ДЕФОРМИРОВАНИЯ

А. И. Котов, Г. В. Рыков

(Москва)

Для сред типа грунтов, чувствительных к скорости деформирования, существенным является вопрос об определении предельных динамических диаграмм сжатия, соответствующих мгновенному нагружению ($\dot{\epsilon} = \infty$) [1, 2]. Такие диаграммы до настоящего времени определялись на фронте ударной волны, распространяющейся в массиве грунта при взрывах зарядов ВВ [3—5] или при ударе по образцу грунта массы, имеющей достаточно большую начальную скорость [6]. При распространении в грунтах непрерывных волн сжатия указанный метод не может быть использован.

Для упругих и упругопластических сред с нелинейными характеристиками для определения динамических диаграмм растяжения использовалась связь диаграмм одноосного сжатия (растяжения) со скоростью распространения слабых возмущений [7, 8].

1. Рассматриваемый метод основан на связи скоростей распространения слабых возмущений в сжатой среде с предельной динамической диаграммой $\varphi(\epsilon)$ ($\dot{\epsilon} = \infty$) в вязкопластической среде. Предполагается, что основные свойства грунтов и рассматриваемых пористых сред при кратковременных динамических нагрузках с достаточной точностью описываются при одноосном сжатии законом деформирования типа [9, 10]

$$(1.1) \quad \frac{\partial \epsilon}{\partial t} = G(\sigma_1 - f(\epsilon)) + \begin{cases} \frac{1}{E(\epsilon)} \frac{\partial \sigma_1}{\partial t}, \frac{\partial \sigma_1}{\partial t} \geq 0, \\ \frac{1}{E_*(\epsilon)} \frac{\partial \sigma_1}{\partial t}, \frac{\partial \sigma_1}{\partial t} < 0, \end{cases}$$

где σ_1 — наибольшее главное напряжение; $E(\epsilon)$ — переменный модуль деформаций при нагружении ($\partial \sigma_1 / \partial t \geq 0$); $E_*(\epsilon)$ — переменный модуль деформаций при разгрузке ($\partial \sigma_1 / \partial t < 0$); $G > 0$ при $\sigma_1 > f(\epsilon)$ и $G \equiv 0$ при $\sigma_1 \leq f(\epsilon)$; $f(\epsilon)$ — статистическая диаграмма сжатия при $\dot{\epsilon} = 0$.